

СИНТЕЗ ОПТИМАЛЬНЫХ ДИОФАНТОВЫХ СТРУКТУР

Э.А. Монахова

Дан обзор по теории D_n -графов [1] и доказан ряд их свойств, приведены алгоритм синтеза предельных D_n -графов и полученный по нему каталог оптимальных D_n -графов ($n = 2, 3, 4, 5$), позволяющий оперативно выбирать структуру однородной вычислительной системы при заданном числе процессоров.

Данная работа продолжает исследование оптимальных диофантовых КАИС-структур, начатое работами [1-3]. Полученные автором результаты частично опубликованы в монографии [4].

I. Конечной Абелевой Изотропией Симметричной (КАИС) структурой называется граф, полученный из групп-графа конечной абелевой группы заменой дуг ребрами без отметок [2]. Такая структура удобна как модель графа межмашинных связей однородной вычислительной системы, так как однородна в строгом смысле, позволяет легко организовать адресацию элементов и путевые процедуры, обеспечивает полную свободу коммутаций.

Вариантом КАИС-структуры, допускающим простое параметрическое описание, является диофантова структура, или D_n -граф, определяемый следующим образом.

Пусть N вершин графа перекумерованы числами $0, 1, \dots, N-1$ и пусть $0 < s_0 < s_1 < \dots < s_{n-1} < N$ — множество n целых чисел. Связь между вершинами i и j графа имеет место, если и только если

$$j - i \equiv s_k \pmod{N}, \quad k = \overline{0, n-1},$$

где N — порядок D_n -графа, n — его размерность, $S = (s_0, s_1, \dots, s_{n-1})$ — множество образующих. За направление образующей s_k на структуре возьмем направление движения от i к j . Параметрический D_n -граф задается описанием вида $\{N; S\} = \{N; s_0, s_1, \dots, s_{n-1}\}$.

2. Приведем основные понятия и свойства КАИС-структур, которые позволяют корректно поставить задачу выбора оптимальной структуры в частном случае D_n -графов.

Диаметром d структуры называется максимально необходимое расстояние между парами вершин структуры. Число вершин структуры, находящихся на расстоянии 1 от любой выделенной, обозначим через $L_{n,1}$, а число вершин, находящихся на расстоянии не более 1 от любой выделенной, — через $K_{n,1}$. Средним диаметром структуры называется величина $\bar{d} = \frac{1}{N} \sum_{i=0}^d L_{n,i}$. Для КАИС-структур [3] и D_n -графов [5,6] введены функции $L_{n,1}^*$ и $K_{n,1}^*$, которые являются верхними оценками для $L_{n,1}$ и $K_{n,1}$ и подчиняются соотношениям

$$L_{n,1}^* = L_{n-1,1}^* + 2 \sum_{i=0}^{1-1} L_{n-1,i}^*, \quad K_{n,1}^* = \sum_{i=0}^1 L_{n,i}^*.$$

Несложные преобразования этих соотношений дает:

$$L_{n,1}^* = L_{n-1,1}^* + L_{n,1-1}^* + L_{n-1,1-1}^*,$$

$$K_{n,1}^* = K_{n-1,1}^* + K_{n,1-1}^* + K_{n-1,1-1}^*.$$

Отсюда, используя тот очевидный факт, что $L_{n,0}^* = K_{n,0}^* = 1$, $L_{1,1}^* = 2$ при $l > 0$ и $K_{1,1}^* = 2l+1$, легко вычислить значения $L_{n,1}^*$ и $K_{n,1}^*$ для данных n и l (см.табл.1 и 2 соответственно).

Таблица 1

Рас- стоя- ние 1	Размерность n				
	1	2	3	4	5
0	I	I	I	I	I
1	2	4	6	8	10
2	2	8	18	32	50
3	2	12	38	88	170
4	2	16	66	192	450

Таблица 2

Рас- стоя- ние 1	Размерность n				
	1	2	3	4	5
0	I	I	I	I	I
1	3	5	7	9	II
2	5	13	25	41	6I
3	7	25	63	129	23I
4	9	4I	129	32I	68I

Число d такое, что $K_{n,d-1}^* < N \leq K_{n,d}^*$, является [3] минимальным из возможных диаметров n -мерной КАИС-структурой порядка N .

Назовем предельной такую структуру, что $L_{n,1} = L_{n,1}^*$ при $1 < d$ и $L_{n,1} = N - K_{n,1-1}^*$ при $l = d$.

Легко доказывается следующие свойства таких структур. ^{*)}

^{*)} Доказательство теорем I и 2 принадлежит В.А.Воробьеву [4].

ТЕОРЕМА 1. Предельная КАИС-структура порядка N и размерности n имеет минимальный средний диаметр

$$\overline{d} = \frac{1}{N} [d(N - K_{n,d-1}^*) + \sum_{i=0}^{d-1} i L_{n,i}^*].$$

ТЕОРЕМА 2. Длина всех слов, равных нулю (за исключением соотношений, задающих коммутативность), в группе автоморфизмов предельной КАИС-структуры строго большие величины $2(d-1)$.

ТЕОРЕМА 3. Порядок k любой k -й образующей предельной КАИС-структуры удовлетворяет неравенству $k > 2(d-1)$.

ТЕОРЕМА 4. Пусть $S = (1, s_1, \dots, s_{n-1})$ — множество образующих предельного D_n -графа, тогда для всех $i = \overline{1, n-1}$ выполняется

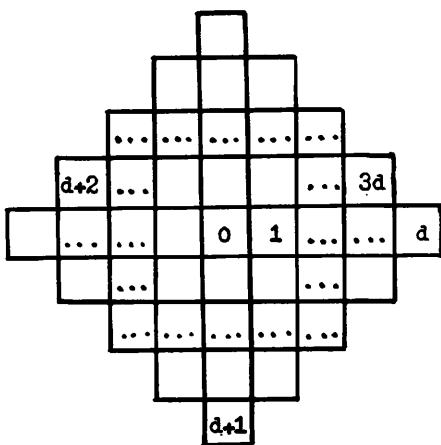
$$s_i \geq 2(d-1).$$

Следующее свойство позволяет для некоторых значений N сразу получать предельные описания.

ТЕОРЕМА 5. Для любого натурального $d > 1$ и $N = 2d^2 + 2d + 1, 2d^2 + 2d, 2d^2 + 2d - 1$ предельные D_2 -графы существуют и имеют описание вида:

- 1) $\{2d^2 + 2d + 1; 1, 2d + 1\},$
- 2) $\{2d^2 + 2d; d, d + 1\},$
- 3) $\{2d^2 + 2d - 1; 1, 2d - 1\}.$

ДОКАЗАТЕЛЬСТВО. Рассмотрим случай I. Пусть $N = 2d^2 + 2d + 1$ и $n = 2$, тогда $N = K_{2,d}^*$. В этом случае у предельной структуры на i -м ярусе, т.е. на расстоянии i от любой вершины, должно находиться $L_{2,i}^* = 4i$ вершин для всех $i \in \overline{1, d}$. Этому требованию удовлетворяет модель структуры в двумерном евклидовом пространстве, изображенная на рисунке (см. стр. 21). Общее число клеток модели равно $2d^2 + 2d + 1$. Клетки модели соответствуют вершинам структуры. Вершины i -го яруса имеют с вершинами $(i-1)$ -го яруса хотя бы одно общее ребро. Геометрически данная модель представляется собой предельную двумерную структуру. Найдем теперь такую нумерацию всех вершин числами $0, 1, \dots, N-1$, которая задавала бы D_2 -



и $(i - 2d - 1) \bmod N$ для всех i от 0 до $N - 1$. Таким образом, данная нумерация задает D_n -граф с образующими $s_0 = 1$ и $s_1 = 2d + 1$. Случай 1 доказан. Случаи 2 и 3 доказываются аналогично построением соответствующих моделей.

В [3] доказано, что КАИС-структуры, имеющие минимальный средний диаметр для заданных порядка и размерности, являются оптимальными, так как максимизируют показатели живучести и коммутируемости структуры и быстродействие транзитных передач. Таким образом, задача синтеза оптимального D_n -графа сводится к поиску предельного D_n -графа, а если он не существует, то — к поиску D_n -графа с $\min d$ и $\min \bar{d}$ в классе D_n -графов порядка N . Более точная формулировка решаемой здесь задачи, использующая понятие эквивалентности D_n -графов, будет дана в п.4.

3. Известен ряд работ, в которых авторы рассматривали методы синтеза предельных (или близких к ним) структур.

Оптимальные КАИС-структуры размерности $n = 2$ и порядка $N < 100$ были получены с помощью программы, написанной для ЭВМ "Минск-22" [3,?]. По заданному числу вершин и размерности определялись группа и список связанных вершин оптимальной структуры. Дополнительные вычисления [?] позволили найти соответствующие оптимальные D_n -графы. Низкое быстродействие общего метода и не совсем удобный вид выходных данных стимулировали развитие работ, ориентированных на синтез D_n -графов.

граф на данной модели. Клетки строк последовательно нумеруем слева направо. Дойдя до конца строки, спускаемся вниз на d строк, или, если это невозможно, поднимаемся на $d + 1$ строку вверх. Нумерацию начинаем с центральной клетки, заканчиваем на клетке, расположенной слева от центральной. Очевидно, что при такой нумерации вершина, получившая номер i , связана с вершинами $(i + 1) \bmod N$, $(i - 1) \bmod N$, $(i + 2d + 1) \bmod N$

Представляют интерес работы, в которых предложены эвристические методы синтеза. В [5] авторы рассмотрели частный случай D_n -графа $\{N; 1, s_1, \dots, s_{n-1}\}$, когда $s_0 = 1$. Ими получены нижние границы для диаметра и среднего диаметра D_n -графов порядка N :

$$d \geq d_{\min} \geq \frac{1}{2}(n!N)^{1/n} - \frac{1}{2}(n+1) \approx \frac{1}{2}(n!)^{1/n} N^{1/n},$$

$$\bar{d} \geq \bar{d}_{\min} \geq [\frac{1}{2}n/(n+1)!N][(n!N)^{1/n} - (3n+1)]^{n+1} \approx \frac{1}{2}[n/(n+1)](n!)^{1/n} N^{1/n},$$

где d_{\min} , \bar{d}_{\min} – минимальные значения диаметра и среднего диаметра для D_n -графов порядка N . В качестве описания, достаточно близкого к предельному, авторы предложили описание $\{N; 1, N^{1/n}, \dots, N^{(n-1)/n}\}$, а степень приближения оценили максимальным отклонением d и \bar{d} данного описания от нижних границ. Эффективность предложенной эвристики рассмотрим на примере, взятом из каталога оптимальных D_n -графов (см.приложение к данной статье). Для $n = 2$ и $N = 144$ предельное описание $\{144; 8, 9\}$, $d = d_{\min} = 8$, $\bar{d} = \bar{d}_{\min} = 5,6$. Полученный по эвристике D_2 -граф $\{144; 1, 12\}$ имеет $d = 12$, $\bar{d} = 6$. Его диаметр и средний диаметр отличаются от минимальных соответственно на 50% и 7%. Видно, что значительно отличается диаметр и совсем незначительно средний диаметр (максимальные отклонения при $n = 2$ по тем же параметрам от нижних границ, приведенные в [5], равны 15% и 6%).

Имеется еще один эвристический алгоритм синтеза D_2 -графов минимального диаметра [1], дающий в большинстве случаев оптимальную структуру. В [1] предложен также метод полного перебора классов изоморфизма на связных D_2 -графах. Следующие четыре теоремы из [1] потребуются нам для построения регулярного алгоритма поиска предельных D_n -графов в общем случае.

Теорема 6. Компоненты связности D_n -графа $\{N; S\}$ имеют порядок $\pi = N / \text{Н.о.д.}^{\#}(N, s_0, \dots, s_{n-1})$.

Теорема 7. Порядок образующей s_k D_n -графа $\{N; S\}$ равен $\pi_k = N / \text{Н.о.д.}(N, s_k)$.

Все образующие одного порядка составляют класс порядка образующих. Классы порядков образующих имеют наименьшую образующую, которая является делителем N . Поскольку все элементы класса имеют с

#) Наибольший общий делитель.

и один и тот же и.о.д., то классы порядков образующих можно рассматривать и как классы делителей N .

ТЕОРЕМА 8. D_n -графы $\{N; s_0, \dots, s_k, \dots, s_{n-1}\}$ и $\{N; s_0, \dots, (N-s_k), \dots, s_{n-1}\}$ изоморфны.

Приведенное утверждение позволяет в дальнейшем ограничиться рассмотрением D_n -графов с образующими, не превосходящими $]N/2[$.

ТЕОРЕМА 9. Если N и т взаимно-просты, то D_n -графы $\{N; s_0, \dots, s_{n-1}\}$ и $\{N; ts_0, \dots, ts_{n-1}\}$ изоморфны.

4. Пусть теперь дано описание D_n -графа $\{N; S\}$. Умножим все $s_k \in S$ на элемент t приведенной системы вычетов по модулю N . В качестве новых образующих s'_k возьмем остатки от деления ts_k на N , если они меньше $]N/2[$, или дополнения этих остатков до N , если они больше $]N/2[$. Назовем данное преобразование, переводящее S в S' , эквивалентным преобразованием, а отношение между множествами S и S' , а также описаниями $\{N; S\}$ и $\{N; S'\}$ – отношением эквивалентности. Действительно, оно рефлексивно, симметрично и транзитивно. Если теперь t пробегает приведенную систему вычетов по модулю N , то все D_n -графы вида $\{N; S'\}$, получаемые из $\{N; S\}$, образуют класс эквивалентности. Из эквивалентности D_n -графов $\{N; S\}$ и $\{N; S'\}$ следует их изоморфизм [8], обратное в общем случае неверно. Например, D_3 -графы $\{16; 1, 2, 7\}$ и $\{16; 2, 3, 5\}$ изоморфны, но не эквивалентны. Для D_n -графов с простым числом вершин понятия эквивалентности и изоморфизма совпадают [9]. В общем же случае для решения проблемы изоморфизма D_n -графов в настоящее время не существует эффективного алгоритма. Поэтому в данной работе при поиске предельных D_n -графов описания D_n -графов различаются с точностью до эквивалентности.

Задача синтеза оптимальных D_n -графов, решаемая в данной работе, ставится так. Для заданных порядка N и размерности n найти все неэквивалентные сочетания чисел $(s_0, \dots, s_k, \dots, s_{n-1})$, $s_k \leq]N/2[$, описывающие предельные D_n -графы, а в случае, если их нет, найти все неэквивалентные оптимальные описания.

Следующая лемма используется при доказательствах теорем I0 и II, значительно сокращающая перебор сочетаний.

ЛЕММА. Пусть N – натуральное число, a/N , a – любое число из класса делителя a . Тогда найдется элемент x приведенной системы вычетов по мо-

дудло и такой, что выполняется сравнение

$$sx \equiv d \pmod{N}. \quad (I)$$

ДОКАЗАТЕЛЬСТВО. Из определения класса делителя следует, что н.о.д.(s, N) = d. Сравнение (I) в этом случае имеет d решений вида $x = x_1 + i\frac{N}{d}$, $0 \leq i \leq d-1$, где x_1 — наименьший неотрицательный вычет решения сравнения

$$\frac{s}{d}x \equiv 1 \pmod{\frac{N}{d}}. \quad (2)$$

Так как н.о.д.($\frac{s}{d}, \frac{N}{d}$) = 1, то решение сравнения (2) существует и, кроме того, обладает свойством: н.о.д.($x_1, \frac{N}{d}$) = 1. Так как d/N , то для N существуют два представления:

1) $N = dp$, где н.о.д.(d, p) = 1;

2) $N = d^j p$, где н.о.д.(d, p) = 1 и $j = 2, 3, \dots$.

В первом случае н.о.д.(x_1, p) = 1 и решение сравнения (I) представится в виде: $x = x_1 + ip$. Во втором случае н.о.д.(x_1, p) = н.о.д.(x_1, d) = 1 и решение сравнения (I) представится в виде: $x = x_1 + id^{j-1}p$. Заметим, что если сумма x и слагаемое $id^{j-1}p$ делятся на d, то и слагаемое x_1 должно делиться на d, но н.о.д.(x_1, d) = 1, значит, н.о.д.(x, N) = 1, что и требовалось доказать.

Фактически данная лемма утверждает, что с помощью эквивалентного преобразования можно перевести любое число из класса делителя в сам делитель.

ТЕОРЕМА IO. При $s_k \leq]N/2[$ D_n -граф порядка N имеет не более чем $I/2\phi(N)$ эквивалентных описаний вида $\{N; S\}$, где $\phi(N)$ -функция Эйлера.

ДОКАЗАТЕЛЬСТВО. Чтобы получить все эквивалентные описания D_n -графа порядка N, достаточно в качестве множителя t брать только те элементы приведенной системы вычетов по модулю N, которые не превосходят $]N/2[$, так как из н.о.д.(t, N) = 1 следует н.о.д.(N - t, N) = 1, а $s(t-N) \equiv st \pmod{N}$. Теорема доказана.

ТЕОРЕМА II. (О полноте множества классов эквивалентности.)
При заданных N и n полнота множества классов эквивалентности D_n -графов порядка N с $s_k \leq]N/2[$ достигается на множестве сочетаний $(s_0, s_1, \dots, s_{n-1})$, опре-

деляемом следующими условиями:

- 1) s_0 пробегает множество всех делителей N , меньших N ;
- 2) порядки s_i ($i = \overline{1, n-1}$) при этом не большие порядка s_0 .

ДОКАЗАТЕЛЬСТВО. Напомним, что, по определению D_n -графа, мы рассматриваем только такие сочетания $(s_0, s_1, \dots, s_{n-1})$, у которых $s_0 < s_1 < \dots < s_{n-1}$. Итак, покажем, что те сочетания, для которых не выполнены условия теоремы II, не дают новых классов эквивалентности.

Разобьем множество $\overline{1, N/2}$ на классы делителей N . Возьмем произвольное сочетание $S = (s_0, s_1, \dots, s_{n-1})$, у которого s_0 принадлежит к классу делителя s'_0 , но не равно s'_0 , т.е. не выполнено условие I. По лемме, существует такой элемент t приведенной системы вычетов по модулю N , что при эквивалентном преобразовании S с помощью данного t число s_0 перейдет в s'_0 . Таким образом, S эквивалентно S' , для которого выполнено условие I.

Пусть теперь для сочетания $S = (s_0, s_1, \dots, s_{n-1})$ выполнено условие I, но не выполнено условие 2, т.е. s_0 — делитель N , а порядок хотя бы одного s_j ($j \in \overline{1, n-1}$) больше порядка s_0 . Таким образом, s_j принадлежит к классу делителя s'_j , порядок которого больше порядка s_0 . Ясно, что s_j не равен s'_j , иначе в сочетании S он стоял бы раньше s_0 , так как $s'_j < s_0$. Применив к S эквивалентное преобразование и упорядочивая элементы сочетания S' по возрастанию, получим, что s_j перейдет в делитель s'_j , который стоит теперь на первом месте в сочетании S' , т.е. для S' справедливо также условие 2. Сочетание S оказалось эквивалентно сочетанию S' , удовлетворяющему условиям теоремы II. Теорема доказана.

СЛЕДСТВИЕ 1. Среди сочетаний вида $(1, s_1, \dots, s_{n-1})$, где s_1, \dots, s_{n-1} не содержат элементов приведенной системы вычетов по модулю N , нет эквивалентных.

СЛЕДСТВИЕ 2. Среди сочетаний вида $(s_0, s_1, \dots, s_{n-1})$, где s_0 — делитель N , мощность класса которого равна мощности приведенной системы вычетов, а порядки s_i ($i = \overline{1, n-1}$) не большие порядка s_0 , нет эквивалентных.

Порядок, в котором перебираются сочетания из теоремы II, можно организовать по-разному. Например, перебирать сочетания по классам делителей, не упорядочивая дополнительно сами сочетания. При таком переборе можно использовать следствия I и 2. В алгоритме выбрано другое упорядочивание по следующим причинам: прежде проверяется эквивалентность сочетаний, сама процедура упорядочивания очень проста, легко выполняется требование теоремы 4.

5. Опишем алгоритм синтеза предельных D_n -графов, который использует все вышеприведенные теоремы.

1. Вычисляем таблицу $K_{n,1}^*$ до n -го столбца и такой строки 1, что $K_{n,1}^* \geq N$. Ожидаемый диаметр d предельной структуры равен 1, а минимальный допустимый порядок для образующей предельной структуры $\pi_{min} = 2(d-1) + 1$.

2. Вычисляем таблицу $L_{n,1}^*$ до n -го столбца и найденного 1. В дальнейшем потребуются только величины $1, \pi_{min}$ и n -е столбцы вычисленных таблиц. Для вычисления n -х столбцов $L_{n,1}^*$ и $K_{n,1}^*$ на ЭВМ достаточно иметь в памяти только две строки с номерами 1 и $i-1$.

3. По формуле $\pi = N / \text{н.о.д.}(N, s)$ вычисляем порядки всех чисел s из множества $1, 2, \dots, \lceil N/2 \rceil$. Отбрасываем те числа, у которых порядок меньше π_{min} . Оставшиеся числа образуют таблицу для делителя N , равного 1, а их порядки – соответственно таблицу порядков. Среди этого множества оставшихся чисел находим делители N и последовательно записываем их порядки (кроме порядков наименьшего и наибольшего делителей) в таблицу.

4. Берем из таблицы порядков делителей очередной порядок π , если он есть, и переходим на 5, иначе – на 6.

5. Из таблицы для предыдущего делителя N , пользуясь его таблицей порядков, получаем таблицу для очередного делителя N с теми числами, у которых порядки $\leq \pi$. Соответственно получаем и его таблицу порядков. Переход на 4.

6. Полученные таблицы для делителей перебираем последовательно в порядке построения. Перебор сочетаний на каждой таблице организован следующим образом. Значение первого элемента таблицы присваивается первому элементу n -сочетания. Из оставшихся элементов таблицы лексикографически перебираются все $(n-1)$ -сочетания. Так перебираем все таблицы, кроме таблицы для делителя 1, у которой перебор $(n-1)$ -сочетаний начинается с элемента, не меньшего $2(d-1)$.

7. Если перебор сочетаний не окончен, то берем очередное сочетание и выполняем переход на 8, иначе - на II.

8. Для очередного сочетания строим табл.3 вида:

Таблица 3

i	0	1	2	3	4	5	...	N-3	N-2	N-1
1 _n	0	1	1	2	2	3	...	2	1	1

Здесь i - диофантов номер вершины D_n -графа, $l_{n,i}$ - минимальная длина пути из вершины 0 в вершину i . В примере дана таблица для сочетания (1,2). Если число вершин, находящихся на расстоянии $1 < d$ от нулевой, в частности совпадает с $L_{n,1}^{n,1}$, то найдена предельная структура и следует переход на 9, иначе (сюда относятся и несвязные сочетания, у которых Н.О.Д. $(N, s_0, s_1, \dots, s_{n-1}) \neq 1$, т.е. данная процедура служит эффективным средством для определения взаимной простоты чисел N, s_0, \dots, s_{n-1}) - на 7.

9. Данное сочетание проверяем на эквивалентность ранее рассмотренным. Если среди его эквивалентных описаний есть сочетание, предшествующее ему по величине, то сочетание отбрасываем и следуем переход на 7, иначе - на 10.

10. Запоминаем представители нового класса эквивалентности предельных структур. Переход на 7.

II. Для всех найденных неэквивалентных предельных структур строим их эквивалентные описания и подсчитываем общее число предельных структур. Конец.

Приведем пример поиска предельных D_n -графов порядка $N = 36$, размерности $n = 2$.

1. Столбец $K_{2,1}^*$ = I, 5, 13, 25, 4I; $d = 4$, $\pi_{n,1n} = 7$.

2. Столбец $L_{2,1}^*$ = I, 4, 8, 12.

3. Получаем таблицу чисел для делителя I (табл.4), таблицу порядков для делителя I (табл.5), таблицу порядков делителей 2 и 3 (табл.6).

Таблица 4

I	2	3	4	5	7	8	10	11	13	14	15	16	17
---	---	---	---	---	---	---	----	----	----	----	----	----	----

Таблица 5

36	18	12	9	36	9	18	36	36	18	12	9	36
----	----	----	---	----	---	----	----	----	----	----	---	----

Т а б л и ц а 6

18	12
----	----

4. $\pi := 18$.

5. Получаем таблицу чисел для делителя 2 (табл.7) и таблицу порядков для делителя 2 (табл.8).

Т а б л и ц а 7

2	3	4	8	10	14	15	16
---	---	---	---	----	----	----	----

Т а б л и ц а 8

18	12	9	9	18	18	12	9
----	----	---	---	----	----	----	---

4. $\pi := 12$.

5. Получаем таблицу чисел для делителя 3 (табл.9) и таблицу порядков для делителя 3 (табл.10).

Т а б л и ц а 9

3	4	8	15	16
---	---	---	----	----

Т а б л и ц а 10

12	9	9	12	9
----	---	---	----	---

6.7. Перебираем 2-сочетания:

(I, s_1), s_1 пробегает табл.4, начиная с числа 7;

(2, s_1), s_1 пробегает табл.7, начиная с числа 3;

(3, s_1), s_1 пробегает табл.9, начиная с числа 4.

8.9.10. Не предельные и не связные сочетания отбрасываем; (I,8) - предельное сочетание - запоминаем; (I,10) - предельное сочетание, но эквивалентное ранее просмотренным, запоминаем.

II. Для (I,8) и (I,10) строим их эквивалентные описания и подсчитываем общее число предельных структур. Оно равно 12. Конец.

На данном примере видно, что по предлагаемому алгоритму пришлось перебрать всего 14 сочетаний вместо $C_{18}^2 = 153$ сочетания.

Описанный алгоритм был использован для создания программы синтеза оптимальных D_n -графов, реализованной на ЭВМ БЭСМ-6. Реализованная программа выдает для заданных N и n предельные неэквивалентные описания, число классов эквивалентности предельных структур, общее число предельных структур, вероятность предельных

описаний, а в случае, когда предельной структуры не существует, выдает оптимальное описание, лучшее по д и \bar{d} среди всех возможных описаний. Программа была использована для синтеза оптимальных D_n -графов размерностей $n = 2, 3, 4, 5$ и соответствующих порядков $N = 10-256, 10-212, 10-70, 10-67$. Время синтеза для некоторых интервалов значений N приводится ниже:

$$\begin{aligned} n &= 2, \quad N = 201-256, \quad t = 21', \\ n &= 3, \quad N = 162-177, \quad t = 16'45'', \\ n &= 5, \quad N = 51-57, \quad t = 1 \text{ час.} \end{aligned}$$

Накопленный статистический материал по оценке частоты появления описаний предельных диофантовых структур позволяет сделать некоторые предварительные выводы.

1. Для некоторых порядков и размерностей предельные диофантовы структуры не существуют (для $n = 2$ вопрос о существовании предельных D_n -графов остается пока открытым).

2. Вероятность появления предельных диофантовых структур p в целом быстро падает с ростом порядка.

3. Области минимальной вероятности p для $n = 2$ и нулевой вероятности для $n = 3, 4, 5$ наблюдаются при приближении N к моменту перехода от одного диаметра к другому.

4. При росте диаметра для $n > 2$ области существования предельных D_n -графов быстро сокращаются.

Фрагменты каталога оптимальных D_n -графов приведены в приложении.

В заключение автор выражает благодарность В.А.Воробьеву за руководство данной работой.

Л и т е р а т у р а

1. ВОРОБЬЕВ В.А. Простейшие структуры однородных вычислительных систем. - В кн.: Вычислительные системы. Вып.60. Вопросы теории и построения вычислительных систем. Новосибирск, 1974, с.35-49.
2. ВОРОБЬЕВ В.А., КОРНЕЕВ В.В. Некоторые вопросы теории структур однородных вычислительных систем. - Там же, с.3-16.
3. КОРНЕЕВ В.В. О макроструктуре однородных вычислительных систем. - Там же, с.17-34.
4. ЕВРЕИНОВ Э.В., ХОРОШЕВСКИЙ В.Г. Однородные вычислительные системы. - Новосибирск: Наука, 1978.

5. WONG C.K., Don COPPERSMITH. A Combinatorial Problem Related to Multimodule Memory Organization. - J.Assoc.Comput.Machinery, 1974, v.21, N 3,p.392-402.
6. WONG C.K., MADDOCK J.W. A generalized Pascal's triangle.- The Fibonacci Quarterly, 1975,v.13, p.134-136.
7. БРОБЕЛ В.А., НОРНЕЕВ В.В., ПЕТРОВА Э.А. (Монахова Э.А.). Элементы теории структур однородных вычислительных систем,-В кн.: Однородные вычислительные системы и среды. Ч.І. Київ, Наукова думка, 1975, с.33-55.
8. ELSPAS B., TURNER I. Graphs with circulant adjacency matrices.-J.Combinatorial Theory, 1970,v.9,p.297-307.
9. TURNER I, Point-symmetric graphs with a prime number of points.- J. Combinatorial Theory, 1967,v.3,p.136-145.

Поступила в ред.-изд.отд.
26 июня 1979 года

Оптимальные D_5 -графы

N	s ₀	s ₁	s ₂	s ₃	s ₄	N	s ₀	s ₁	s ₂	s ₃	s ₄	N	s ₀	s ₁	s ₂	s ₃	s ₄	
II	I	2	3	4	5	29	I	2	3	4	10		47	I	2	9	15	20
I2	I	2	3	4	5	30	I	2	3	4	II		48	I	4	8	10	23
I3	I	2	3	4	5	31	I	2	3	4	II		49	I	2	9	15	22
I4	I	2	3	4	5	32	I	2	3	4	12		50*	I	3	8	16	20
I5	I	2	3	4	5	33	I	2	3	4	12		51	I	2	10	16	23
I6	I	2	3	4	5	34	I	2	3	4	13		52*					
I7	I	2	3	4	5	35	I	2	3	4	13		53*					
I8	I	2	3	4	5	36	I	2	3	8	15		54*					
I9	I	2	3	4	5	37	I	2	3	4	14		55*					
20	I	2	3	4	5	38	I	2	3	9	16		56*					
21	I	2	3	4	5	39	I	2	3	9	16		57*					
22	I	2	3	4	7	40	I	2	3	10	16		58*					
23	I	2	3	4	6	41	I	2	3	10	16		59*					
24	I	2	3	4	8	42	I	2	3	10	18		60*					
25	I	2	3	4	8	43	I	2	3	II	18		61*					
26	I	2	3	4	9	44	I	2	3	II	18		62*					
27	I	2	3	4	9	45	I	2	3	II	18		63*					
28	I	2	3	4	10	46	I	2	8	15	20		64*					

*) Приведены фрагменты каталога оптимальных D_n -графов для следующих значений: $n = 2$, $N = 17-256$; $n = 3,4,5$, $N = II-64$.

Описания выбраны из множества неэквивалентных предельных сочтаний как лексикографически меньшие всех остальных. Для значений N , отмеченных "*", не существует предельных описаний и приведены оптимальные описания.

Оптимальные D_4 -графы

N	s_0	s_1	s_2	s_3	N	s_0	s_1	s_2	s_3	N	s_0	s_1	s_2	s_3
II	I	2	3	4	29	I	2	3	II	47*	I	4	II	17
I2	I	2	3	4	30	I	2	7	13	48	I	4	II	17
I3	I	2	3	4	31	I	2	8	13	49	I	4	10	17
I4	I	2	3	4	32	I	2	8	13	50	I	4	15	22
I5	I	2	3	4	33	I	2	8	13	51	I	4	10	22
I6	I	2	3	4	34*	I	6	7	10	52	I	6	19	22
I7	I	2	3	4	35	I	2	9	15	53	I	4	10	17
I8	I	2	3	6	36*	I	3	10	15	54	I	4	II	17
I9	I	2	3	5	37*	I	2	8	13	55	I	4	13	20
20	I	2	3	7	38*	I	2	8	13	56	I	4	10	17
21	I	2	3	7	39*	I	2	10	16	57	I	4	10	17
22	I	2	3	8	40*	I	5	9	12	58	I	4	10	23
23	I	2	3	8	41*	I	4	11	17	59	I	4	10	17
24	I	2	3	9	42*	I	4	10	17	60	I	4	10	17
25	I	2	3	9	43*	I	2	8	13	61	I	4	10	22
26	I	2	3	10	44*	I	4	14	21	62	I	4	10	17
27	I	2	3	10	45*	I	3	11	18	63	I	4	10	17
28	I	2	7	II	46	I	4	10	17	64	I	4	10	23

Оптимальные D_3 -графы

N	s ₀	s ₁	s ₂	N	s ₀	s ₁	s ₂	N	s ₀	s ₁	s ₂
II	I	2	3	29	I	5	13	47	I	4	18
I2	I	2	3	30	I	5	8	48	I	7	18
I3	I	2	3	31	I	4	II	49	I	6	17
I4	I	2	5	32	I	4	10	50	I	8	12
I5	I	2	4	33	I	4	10	51*	I	4	15
I6	I	2	6	34	I	4	14	52*			
I7	I	2	6	35	I	4	10	53*			
I8	I	2	7	36	I	4	10	54*			
I9	I	2	7	37	I	4	10	55	I	5	21
20	I	5	8	38	I	4	10	56*			
21	I	2	8	39	I	4	II	57*	I	5	22
22*	I	4	8	40	I	4	15	58*			
23*	I	2	9	41	I	4	10	59*	I	7	18
24*	I	5	8	42	I	4	16	60*			
25*	I	3	10	43	I	4	II	61*	I	6	26
26*	I	3	8	44	I	4	17	62*			
27	I	4	10	45	I	4	13	63*	I	24	28
28	I	4	II	46	I	4	18	64*			

Приложение (продолжение)

Оптимальные D_2 -графы

N	s ₀	s ₁	N	s ₀	s ₁	N	s ₀	s ₁	N	s ₀	s ₁	N	s ₀	s ₁
17	I	4	41	I	9	65	I	10	89	I	16	113	I	15
18	I	4	42	I	16	66	I	10	90	I	12	114	I	50
19	I	4	43	I	12	67	I	12	91	I	12	115	I	34
20	I	8	44	I	8	68	I	26	92	I	14	116	I	32
21	I	6	45	I	8	69	I	15	93	I	39	117	I	43
22	I	6	46	I	10	70	2	25	94	I	26	118	I	18
23	I	5	47	I	13	71	I	11	95	I	17	119	I	14
24	3	4	48	I	20	72	I	11	96	I	42	120	I	14
25	I	7	49	I	9	73	I	11	97	I	13	121	I	16
26	I	10	50	I	9	74	I	22	98	I	13	122	I	36
27	I	6	51	I	9	75	I	10	99	I	13	123	I	34
28	I	6	52	I	8	76	I	10	100	I	18	124	I	52
29	I	8	53	I	8	77	I	14	101	I	30	125	I	19
30	2	9	54	I	12	78	I	12	102	I	12	126	2	49
31	I	7	55	I	10	79	I	12	103	I	12	127	I	15
32	I	7	56	I	10	80	I	22	104	I	16	128	I	15
33	I	6	57	I	24	81	I	24	105	I	14	129	I	15
34	I	6	58	I	22	82	I	36	106	I	14	130	I	28
35	I	10	59	I	9	83	I	11	107	I	41	131	I	20
36	I	8	60	5	6	84	6	7	108	I	32	132	3	32
37	I	8	61	I	11	85	I	13	109	I	30	133	I	14
38	I	16	62	I	26	86	I	36	110	I	46	134	I	14
39	I	7	63	I	24	87	I	24	III	I	13	135	I	18
40	4	5	64	I	14	88	I	26	III2	7	8	136	I	16

Приложение (продолжение)

N	s ₀	s ₁												
I37	I	16	I61	I	17	I85	I	40	I09	I	22	I33	I	71
I38	2	15	I62	I	17	I86	2	39	I10	I	20	I34	I	86
I39	I	30	I63	I	17	I87	I	57	I11	I	20	I35	I	65
I40	I	32	I64	I	50	I88	I	22	I12	I	78	I36	I	42
I41	I	54	I65	3	40	I89	I	18	I13	I	59	I37	I	44
I42	I	64	I66	I	22	I90	I	18	I14	I	38	I38	I	64
I43	I	15	I67	I	36	I91	I	20	I15	I	40	I39	I	25
I44	8	9	I68	I	16	I92	2	21	I16	I	58	I40	I	110
I45	I	17	I69	I	16	I93	I	44	I17	I	64	I41	I	21
I46	I	64	I70	I	20	I94	I	42	I18	I	100	I42	I	21
I47	I	54	I71	I	18	I95	I	54	I19	I	19	I43	I	21
I48	I	32	I72	I	18	I96	I	86	I20	I0	II	I44	I	72
I49	I	34	I73	I	51	I97	I	23	I21	I	2I	I45	I	88
I50	2	21	I74	2	33	I98	2	8I	I22	I	100	I46	I	66
I51	I	20	I75	I	40	I99	I	19	I23	I	68	I47	I	46
I52	I	16	I76	I	38	I00	I	19	I24	I	62	I48	I	26
I53	I	16	I77	I	54	I01	I	19	I25	I	40	I49	I	69
I54	I	18	I78	I	78	I02	I	56	I26	I	42	I50	I	20
I55	I	57	I79	I	17	I03	I	36	I27	I	6I	I51	I	20
I56	I	46	I80	9	I0	I04	I	38	I28	I	82	I52	I	24
I57	I	34	I81	I	19	I05	I	24	I29	I	24	I53	I	22
I58	I	36	I82	I	82	I06	I	74	I30	I	20	I54	I	22
I59	I	2I	I83	I	54	I07	I	18	I31	I	20	I55	I	II?
I60	I	72	I84	I	42	I08	I	18	I32	I	22	I56	I	92